

# بهبود ورودی‌ها و خروجی‌های واحدهای تصمیم گیرنده به وسیلهٔ جهت‌های بهینه؛ رویکردی از تحلیل پوششی داده‌ها

حامد ژیانی رضایی<sup>۱\*</sup>، سید علیرضا داوودی<sup>۲</sup>، غزاله میرزاچی<sup>۱</sup>

<sup>۱</sup> گروه ریاضی، دانشگاه آزاد اسلامی، واحد مشهد

<sup>۲</sup> گروه ریاضی، دانشگاه آزاد اسلامی، واحد نیشابور

رسید مقاله: ۸۹/۳/۶

پذیرش مقاله: ۸۹/۶/۳۰

## چکیده

گاهی در مسایل عملی ممکن است جهت حرکت یک واحد تصمیم گیرنده ( $DMU$ ) به سوی مرز کارایی یا به عبارت دیگر نحوهٔ بهبود ورودی-خروجی‌های آن، به شکل خاصی، برای کاربر اهمیت داشته باشد. این جهت‌ها گاهی از ابتدا معلوم هستند [۱]، اما در بعضی موارد، جهت خاصی که هدف کاربر را پوشش می‌دهد می‌تواند مجھول باشد. در این مقاله، نمونه‌هایی از این اهداف، مطرح و الگوریتم‌هایی برای یافتن جهت‌های برآورد کننده‌ی این اهداف ارایه خواهد شد. مسایلی که مورد بررسی قرار خواهند گرفت عبارتند از: بهبود ورودی-خروجی‌ها با حداقل تغییرات در مقادیر آن‌ها و یافتن جهت حرکت به سمت مرز، برای حالتی که ورودی-خروجی‌ها برای بهبود، نسبت به هم اولویت دارند.

**کلمات کلیدی:** تحلیل پوششی داده‌ها، جهت‌های بهینه، ابرصفحه‌های قوی، اولویت مطلق.

## ۱ مقدمه

تحلیل پوششی داده‌ها (DEA)، یک روش غیر پارامتری است که از آن برای ارزیابی کارایی واحدهایی با چندین ورودی و چندین خروجی استفاده می‌شود. [۲-۳] کارایی هر واحد بر اساس فاصله‌ی آن تا مرز مجموعه-ی امکان تولید محاسبه می‌شود. نحوهٔ نزدیک شدن  $DMU$  به مرز مجموعه‌ی امکان تولید (اصطلاحاً حرکت) منجر به ارایه‌ی مدل‌های مختلف ارزیابی می‌شود. در بعضی مدل‌های  $DEA$  مانند مدل‌های اندازه‌ی ناکارایی وابسته به متغیرهای کمکی جهت دار و تابع فاصله‌ی تکنولوژی جهت دار که توسط وبر و فوکویوما در [۱] معرفی شده‌اند، جهت‌های حرکت به سوی مرز، معین هستند. اما گاهی ممکن است برای رسیدن به مرز یا بهبود ورودی-خروجی‌ها، جهت خاصی مطلوب باشد که از ابتدا معلوم نباشد.

\* عهده دار مکاتبات

آدرس الکترونیکی: [hz\\_rezai@hotmail.com](mailto:hz_rezai@hotmail.com)

یکی از حالات این است که  $DMU$  بخواهد با حداقل تغییرات در مقادیر ورودی و خروجی به مرز برسد، در این صورت مسیری مورد نظر خواهد بود که از  $DMU$  ای مورد ارزیابی به سمت نزدیکترین ابرصفحه‌ی سازنده‌ی مجموعه‌ی امکان تولید ( $PPS$ ) حرکت کند.

حالت دیگری که در این مقاله بررسی می‌شود، زمانی است که کاربر برای بهبود ورودی‌ها و خروجی‌های  $DMU$ ‌ها اولویتی قائل باشد. به عنوان مثال کارخانه‌های تولید نان صنعتی را به عنوان  $DMU$ ‌ها در نظر بگیرید که بتوانند با کاهش دو ورودی گندم و جو و صرف هزینه‌ی آن در بخشی دیگر، کارایی خود را بالا ببرند. اما با توجه به تقاضای بیشتر نان گندم نسبت به نان جو، کاهش جو را بر کاهش گندم ترجیح دهنند. در این صورت، کاهش ورودی جو نسبت به گندم در اولویت قرار می‌گیرد.

در موارد مطرح شده، این مطلب در نظر گرفته می‌شود که جهت به ابر صفحه‌ای برسد که در میان سایر ابرصفحه‌های کارای قوی سازنده‌ی  $PPS$ ، دارای ضرایبی باشد که متناظر با وزن‌های بهینه برای  $DMU$  ای مورد ارزیابی (وزن‌هایی که ماکریم کارایی را به آن  $DMU$  نسبت می‌دهند) هستند. در بخش ۲ مقدماتی را از ارایه خواهیم کرد. در بخش ۳ نحوه نزدیک شدن یک  $DMU$  به مرز کارایی را بر اساس حداقل تغییرات در ورودی و خروجی‌ها بررسی خواهیم کرد. بخش ۴ شامل ارایه‌ی روش جهت حرکت  $DMU$  به سمت مرز کارایی بر اساس اولویت بندی بین ورودی‌ها و خروجی‌ها می‌باشد. بخش ۵ شامل مثال عددی و بخش ۶ نیز نتیجه‌گیری را ارایه می‌دهد.

## ۲ مقدمات $DEA$

یک مجموعه با  $n$  واحد تصمیم گیرنده ( $DMU$ ) را در نظر بگیرید که هر  $j$  از  $DMU$  ( $j = 1, \dots, n$ ) ورودی  $x_{ij}$  ( $i = 1, \dots, m$ ) برای تولید  $s$  خروجی  $y_{rj}$  ( $r = 1, \dots, s$ ) استفاده می‌کند. فرض کنید بردارهای ورودی و خروجی برای هر  $j$   $DMU$  که،  $j = 1, \dots, n$  به صورت  $(x_j, y_j)$  نمایش داده شود، به طوری که برای هر  $j$ ، مؤلفه‌های این بردار نامنفی باشند و حداقل یک مؤلفه‌ی هر بردار ورودی و حداقل یک مؤلفه‌ی هر بردار خروجی مثبت باشد. مجموعه‌ی همه‌ی  $(x, y)$ ‌های شدنی را مجموعه‌ی امکان تولید ( $PPS$ ) نامیده و با  $T$  نشان می‌دهند که به صورت زیر تعریف می‌شود:

$$T = \{(x, y) \mid \text{ورودی } x \text{ بتواند خروجی } y \text{ را تولید کند}\}$$

مجموعه‌ی امکان تولید با بازده به مقیاس متغیر به صورت زیر تعریف می‌شود [۴]:

$$T_v = \left\{ (x, y) \mid x \geq \sum_{j=1}^n x_j \lambda_j, y \leq \sum_{j=1}^n y_j \lambda_j, \sum_{j=1}^n \lambda_j = 1, \lambda_j \geq 0, j = 1, \dots, n \right\}$$

بنکر، چارنز و کوپر [۴] مدل  $BCC$  را برای ارزیابی کارایی یک  $DMU$  به صورت زیر معرفی کردند:

$$\text{Min } \theta$$

$$\text{s.t. } (\theta x_0, y_0) \in T_v$$

که با استفاده از تعریف  $PPS$  منجر به مدل زیر خواهد شد که مدل  $BCC$  در ماهیت ورودی نامیده می‌شود:

$$\text{Min } \theta$$

$$\begin{aligned} s.t. \quad & \sum_{j=1}^n \lambda_j x_{ij}, \quad i = 1, \dots, m, \\ & \sum_{j=1}^n \lambda_j y_{rj}, \quad r = 1, \dots, s, \\ & \sum_{j=1}^n \lambda_j = 1, \\ & \lambda_j \geq 0, \quad j = 1, \dots, n, \\ & \theta \text{ free.} \end{aligned} \tag{1}$$

می‌توان نشان داد که این مدل با مدل جهت دار با جهت  $\mathbf{d}^x = \begin{pmatrix} \mathbf{d}^x \\ -\mathbf{1} \\ \mathbf{0} \end{pmatrix}$  معادل است.

روش معمول برای تصویر  $DMU$  تحت ارزیابی بر روی مرز کارایی استفاده از مدل دو مرحله‌ای است. در مرحله‌ی اول مدل (1) حل می‌شود و در مرحله‌ی دوم مدل زیر

$$\begin{aligned} \text{Max} \quad & \sum_{i=1}^m s_i^- + \sum_{r=1}^s s_r^+ \\ s.t. \quad & s_i^- = \theta^* x_{io} - \sum_{j=1}^n \lambda_j x_{ij} \quad i = 1, \dots, m, \\ & s_r^+ = \sum_{j=1}^n \lambda_j y_{rj} - y_{ro} \quad r = 1, \dots, s, \\ & \sum_{j=1}^n \lambda_j = 1, \\ & \lambda_j \geq 0, \quad j = 1, \dots, n, \\ & s_i^- \geq 0, \quad i = 1, \dots, m, \\ & s_r^+ \geq 0, \quad r = 1, \dots, s. \end{aligned} \tag{2}$$

که در آن  $\theta^*$  مقدار بهینه مدل (1) است. حال مختصات تصویر  $DMU_o$  از روابط زیر محاسبه می‌شود.

$$\begin{aligned} \hat{x}_{io} &= \sum_{j=1}^n \lambda_j^* x_{ij} = \theta^* x_{io} - s_i^{*-} \quad i = 1, \dots, m, \\ \hat{y}_{ro} &= \sum_{j=1}^n \lambda_j^* y_{rj} = y_{ro} + s_r^{+*} \quad r = 1, \dots, s. \end{aligned}$$

**تعریف 1** فرض کنید  $(\theta^*, \lambda^*, s^{-*}, s^{+*})$  جواب بهینه مدل دو مرحله‌ای باشد. اگر در مرحله‌ی اول  $1 = \theta^*$  و در مرحله‌ی دوم همه متغیرهای کمکی صفر باشند یعنی  $\mathbf{0} = (s^{-*}, s^{+*})$  آنگاه  $DMU_o$  تحت ارزیابی را  $BCC$  – کارا (کارای قوی) گویند.

یکی دیگر از مدل هایی که در *DEA* معرفی شده است مدل جمعی نام دارد. این مدل مستقل از ماهیت است و به صورت زیر فرمول بندی می شود:

$$\begin{aligned}
 & \text{Max} \quad \sum_{i=1}^m s_i^- + \sum_{r=1}^s s_r^+ \\
 & \text{s.t.} \quad \sum_{j=1}^n \lambda_j x_{ij} + s_i^- = x_{io} \quad i = 1, \dots, m, \\
 & \quad \sum_{j=1}^n \lambda_j y_{ij} - s_r^+ = y_{ro} \quad r = 1, \dots, s, \\
 & \quad \sum_{j=1}^n \lambda_j = 1, \\
 & \quad \lambda_j \geq 0, \quad j = 1, \dots, n, \\
 & \quad s_i^- \geq 0, \quad i = 1, \dots, m, \\
 & \quad s_r^+ \geq 0, \quad r = 1, \dots, s.
 \end{aligned} \tag{۳}$$

مدل جمعی عددی برای کارایی به دست نمی دهد و فقط تشخیص می دهد که  $DMU_o$  تحت ارزیابی کارا هست یا نه. برخلاف مدل (۱) نحوه ی حرکت در مدل جمعی به صورت غیرشعاعی و در راستای کاهش مولفه های ورودی و افزایش مولفه های خروجی است. می توان نشان داد این مدل با حالت خاصی از مدل جهتدار با

$$\text{معادل است که در آن } \mathbf{1} \in R^m \text{ و } \mathbf{1} \in R^s. \quad \begin{pmatrix} \mathbf{d}^x \\ \mathbf{d}^y \end{pmatrix} = \begin{pmatrix} -1 \\ \mathbf{1} \end{pmatrix} \text{ جهت}$$

**تعویف ۲**  $ADD$ -کارا است اگر در حل مدل (۳) مقدار بهینه تابع هدف صفر باشد.

**قضیه ۱**  $BCC$ -کارا است اگر و فقط اگر  $ADD$ -کارا باشد.

برهان: به [۵] مراجعه کنید.

**قضیه ۲** فرض کنید  $BCC$ -کارا باشد، در این صورت ضرایب نرمال شدهای  $(v^*, u^*, u_0^*)$  از ابرصفحهی تکیه کنندهی  $H$  در  $(x_o, y_o)$ ، یک جواب بهینه مدل  $BCC$  می باشد و بالعکس. برهان به [۵] مراجعه کنید.

### ۳ بهبود ورودی-خروجی ها با حداقل تغییرات

**تعویف ۳** فرض کنید که جهت های حرکت به سمت مرز معین نباشد، از بین همهی جهت هایی که  $DMU_o$  را بر مرز کارایی تصویر می کنند، آن هایی را بهینه می نامیم که اولاً  $DMU_o$  را بر ابرصفحهای از *PPS* تصویر کنند که ضرایب آن متناظر با وزن هایی باشند که بیشترین کارایی را به  $DMU_o$  اختصاص می دهند، ثانیاً مجموع مؤلفه های این بردارهای جهتدار نسبت به سایر جهت هایی که در شرط اول صدق می کنند، کمترین مقدار را داشته باشند. (متر فاصله تا مرز را نرم یک درنظر می گیریم).

تعیین جهت حرکت به سمت نزدیکترین ابرصفحه: بنا به قضیه ۲ برای به دست آوردن کارایی نسبی یک  $DMU$  می‌توان از ضرایب ابرصفحه‌های قوی سازای  $PPS$  استفاده کرد. برای پیدا کردن جهت‌های بهینه برای حرکت  $DMU_o$  به سمت مرز کارایی ابتدا معادله‌ی همه‌ی ابرصفحه‌های قوی و سازنده‌ی  $PPS$  را به دست می‌آوریم. کارایی نسبی  $DMU_o$  را توسط وزن‌هایی که متناظر با ضرایب این ابرصفحه‌ها می‌باشند محاسبه کرده، ابرصفحه یا ابرصفحه‌هایی که به ازای آن‌ها بیشترین مقدار کارایی به  $DMU_o$  نسبت داده می‌شوند را مشخص می‌کنیم. با قرار دادن مختصات  $j$  ها ( $j=1,\dots,n$ ) در معادله‌ی این ابرصفحه‌ها،  $DMU$ ‌هایی که روی هر یک از این ابرصفحه‌ها قرار دارند را یافته و کمترین فاصله‌ی  $DMU_o$  را تا این ابرصفحه‌ها به دست می‌آوریم. این مراحل در الگوریتم زیر ارایه می‌شوند:

### الگوریتم پیشنهادی برای پیدا کردن جهت‌های بهینه

مرحله اول معادله‌ی همه‌ی ابرصفحه‌های کارایی قوی سازنده‌ی  $PPS$  را توسط روش ارایه شده در [۶] به دست آورید.

مرحله دوم به کمک رابطه‌ی  $\theta_p = \frac{u_p y_o - u_{0,p}}{v_p x_o}$  که  $t$  تعداد ابرصفحه‌های قوی و سازنده‌ی  $PPS$  است، کارایی نسبی  $DMU_o$  را توسط وزن‌هایی که متناظر با ضرایب ابرصفحه‌های قوی سازنده‌ی  $PPS$  هستند، به دست آورده، قرار دهید:

$$\theta^* = \max_{p=1,\dots,t} \{\theta_p\}$$

مرحله سوم ابرصفحه‌هایی را که به ازای آن‌ها  $\theta_p = \theta^*$ ، در مجموعه‌ی  $H$  قرار دهید. ( $H$  مجموعه‌ی ابرصفحه‌های کارا و سازنده از  $PPS$  می‌باشد که ضرایب آن متناظر با وزن‌هایی هستند که بیشترین کارایی را به  $DMU_o$  اختصاص می‌دهند) فرض کنید:

$$H = \{H_1, \dots, H_h\} \quad h \leq t$$

مرحله چهارم به کمک معادله‌ی ابرصفحه‌های  $H_1, \dots, H_n$ ،  $DMU_o$  را که روی هر یک قرار دارند باید و آن‌ها را به ترتیب در مجموعه‌های  $M_{H_1}, \dots, M_{H_n}$  قرار دهید. ( $L = 1, \dots, h$ )  $M_{H_L}$  مجموعه‌ی اندیس  $DMU$ ‌های کارایی است که مختصات آن‌ها در ابرصفحه‌ی  $H_L$  صدق می‌کنند).

مرحله پنجم برای به دست آوردن جهت‌های بهینه، (جهت‌هایی که با کمترین فاصله،  $DMU_o$  را بر ابرصفحه‌ای با ضرایب متناظر با وزن‌های بهینه برای  $DMU_o$  تصویر کند) مدل زیر را به ازای  $L = 1, \dots, h$  حل کنید:

$$\begin{aligned}
 s_L = \text{Min} \quad & \sum_{i=1}^m s_i^- + \sum_{r=1}^s s_r^+ \\
 \text{s.t.} \quad & \sum_{j \in M_{H_L}} \lambda_j x_{ij} = x_{io} - s_i^-, \quad i = 1, \dots, m, \\
 & \sum_{j \in M_{H_L}} \lambda_j y_{rj} = y_{ro} + s_r^+, \quad r = 1, \dots, s, \\
 & \sum_{j \in M_{H_L}} \lambda_j = 1, \\
 & \lambda_j \geq 0, \quad j \in M_{H_L}, \\
 & s_i^- \geq 0, \quad i = 1, \dots, m, \\
 & s_r^+ \geq 0, \quad r = 1, \dots, s.
 \end{aligned} \tag{4}$$

و قرار دهید:

$$s^* = \text{Min}_{L=1, \dots, h} \{s_L\}$$

مرحله ششم جهت های بهینه به صورت زیر به دست می آیند:

$$\begin{aligned}
 \vec{g}^x = \sum_{j \in M_{H_L}^*} x_{ij} \lambda_j - x_{io} = -\vec{s}_i^- \quad & i = 1, \dots, m \\
 \vec{g}^y = \sum_{j \in M_{H_L}^*} y_{rj} \lambda_j - y_{ro} = \vec{s}_r^+ \quad & r = 1, \dots, s
 \end{aligned}$$

که در آن،  $M_{H_L}^*$  مجموعه‌ی مراجعی هستند که در حل مدل متناظر آن‌ها،  $s_L^* = s_L$  مجموعه‌ی  $M_{H_L}^*$  (یا ابرصفحه‌ی متناظر با آن) ممکن است منحصر بفرد نباشد، یعنی بیش از یک ابرصفحه با شرایط مذکور می‌نیم فاصله تا  $DMU_o$  را داشته باشد.

در مدل ارایه شده در مرحله‌ی پنجم، چون  $(L=1, \dots, h)$ ، و از آنجا که اعضای  $M_{H_L}$  همگی بر یک ابرصفحه‌ی قوی سازنده‌ی  $PPS$  واقعند، تنها زمانی تابع هدف می‌تواند صفر شود که  $DMU_o$  نیز روی این ابرصفحه قرار داشته باشد، یعنی اگر  $(\lambda_j^*, s_i^{*-}, s_r^{**})$  جواب بهینه‌ی به دست آمده از مدل (4) باشد بطوریکه برای  $i=1, \dots, m$  و  $r=1, \dots, s$  و  $s_i^{*-}=0$  و  $s_r^{**}=0$  آنگاه:

$$\begin{aligned}
 \sum_{j \in M_{H_L}^*} \lambda_j x_{ij} = x_{io} \quad & i = 1, \dots, m \\
 \sum_{j \in M_{H_L}^*} \lambda_j y_{rj} = y_{ro} \quad & r = 1, \dots, s
 \end{aligned} \tag{5}$$

که با توجه به این که  $\sum_{j \in M_{H_L}} \lambda_j^* = 1$  و  $\lambda_j^* \geq 0$  با  $DMU_o$  ترکیب محدب  $j$  هایی  $(j \in M_{H_L})$  ساخته می‌شود که همگی روی ابرصفحه‌ی  $H_L$  واقعند.

اگرچه ظاهر مدل (4) شبیه به مدل جمعی با تابع هدف می‌نیم می‌باشد، ولی چون مجموعه‌ی  $DMU$  های مشاهده شده ایکه در این مدل در نظر گرفته می‌شوند بجای  $j=1, \dots, n$ ،  $j \in M_{H_L}$ ،  $j=1, \dots, n$  می‌باشد و اعضای  $M_{H_L}$  همگی بر یک ابرصفحه واقعند، لذا نتیجه‌ی به دست آمده از حل این مدل با آنچه از حل مدل جمعی با تابع هدف می‌نیم سازی به دست می‌آید متفاوت خواهد بود. هر ترکیب محدب از  $DMU$  های واقع بر یک ابرصفحه، در ناحیه محدب ایجاد شده توسط همین  $DMU$  ها و در نتیجه روی ابرصفحه‌ی متعلق به آن‌ها، واقع خواهد شد. علاوه بر این، به دلیل وجود اصل امکان پذیری در اصول  $PPS$ ، ممکن است تصویر

مورد ارزیابی با ترکیبی از اعضای  $DMU_{H_L}$ ، اما در نقطه‌ای خارج از ناحیه‌ی محدود شده توسط ترکیب محدب این اعضا تصویر شود. دراین صورت ممکن است تصویر خارج از  $PPS$  بر ابرصفحه‌ی مذکور تصویر شود که غیر قابل قبول خواهد بود. لذا، برای اطمینان از اینکه تصویر  $DMU$  ای مورد ارزیابی حتماً در ناحیه‌ی محدودشده توسط ترکیب اعضای  $M_{H_L}$  تصویر شود، قید  $\lambda_j \geq 0 \quad (j \in M_{H_L})$  را نیز به مدل می‌افزاییم. فرض کنید  $(\lambda_j^*, s_i^{-*}, s_r^{+*})$  جواب بهینه‌ی به دست آمده از مدل (۴) باشد. طبق تعریف تصویر، اختصات تصویر به دست آمده از حل این مدل، به صورت زیر است:

$$\hat{x}_{io} = \sum_{j \in M_{H_L}} \lambda_j^* x_{ij} = x_{io} - s_i^{-*}, \quad i = 1, \dots, m,$$

$$\hat{y}_{ro} = \sum_{j \in M_{H_L}} \lambda_j^* y_{rj} = y_{ro} + s_r^{+*}, \quad r = 1, \dots, s.$$

$$\text{که در آن } 0 \leq \lambda_j^* \leq 1$$

به عبارت دیگر  $\left( \sum_{j \in M_{H_L}} x_{ij} \lambda_j^*, \sum_{j \in M_{H_L}} y_{rj} \lambda_j^* \right)$  یعنی  $(\hat{x}, \hat{y})$  ترکیب محدب اعضای  $M_{H_L}$  می‌باشد، لذا برخلاف مدل جمعی (با تابع هدف می‌نیمم)، در اینجا تصویر نمی‌تواند بر مرز ضعیف واقع شود، چون در واقع در مدل (۴) ناحیه‌ی  $PPS$ ، تنها ناحیه‌ی محدب ایجاد شده توسط همین  $DMU$ ‌هاست.

#### ۴ بهبود ورودی-خروجی‌ها با اولویت مطلق

بدون وارد شدن خلل به کلیت مساله، فرض کنید برای  $DMU_O$ ، بهبود ورودی-خروجی‌ها به ترتیب  $x_1, \dots, x_m$  و  $y_1, \dots, y_s$  اولویت بندی شده باشند (این اولویت می‌تواند ابتدا برای خروجی‌ها و بعد ورودی‌ها، ترکیب مختلطی از ورودی-خروجی‌ها و همچنین می‌تواند برای  $DMU$ ‌های مختلف، یکسان یا متفاوت باشد). چون اختصاص وزن‌های بهینه‌ای که بیشترین کارایی را به  $DMU$  ای مورد ارزیابی اختصاص می‌دهند، در اولویت قرار دارد، ابتدا مراحل اول تا چهارم الگوریتم بخش ۳ را برای این  $DMU$  اجرا می‌کنیم. لذا هم اکنون، ابرصفحه یا ابرصفحه‌هایی که ضرایب آن‌ها متناظر با این وزن‌های بهینه‌اند، معلوم هستند.

برای حرکت به سمت این ابرصفحه با توجه به اولویت مفروض بین ورودی-خروجی‌ها، بجای تابع هدف مدل

$$(4)، \text{ قرار می‌دهیم: } \min \bar{s}_1$$

اگر جواب بهینه منحصر بفرد بود این جواب را به عنوان جواب بهینه‌ی مسئله می‌پذیریم. در غیراین صورت، فرض می‌کنیم مجموعه جواب‌های چندگانه‌ی به دست آمده مجموعه  $K_1^-$  باشد. حال،  $\bar{s}_2$  را روی  $K_1^-$ ، می‌نیمم می‌کنیم. مجدداً اگر جواب بهینه منحصر بفرد بود حل مسئله پایان می‌پذیرد و در غیراین صورت  $\bar{s}_3$  را روی مجموعه جدید جواب‌های چندگانه  $K_2^-$  می‌نیمم می‌کنیم. این روند را تا به دست آمدن جوابی منحصر بفرد یا تا وقتی که برای آخرین مورد (در اینجا برای  $\bar{s}_4$ ) این می‌نیمم سازی انجام شود، ادامه می‌دهیم.

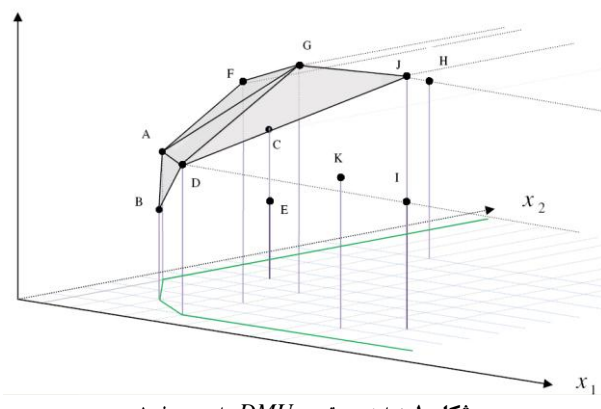
## ۵ مثال عددی

جدول ۱ مقادیر ورودی و خروجی را برای یازده  $DMU$  نشان می دهد.

$DMU$	$A$	$B$	$C$	$D$	$E$	$F$	$G$	$H$	$I$	$J$	$K$
$x_1$	1	3	3	5	3	3	5	4	10	10	9
$x_2$	4	2	6	1	6	5	5	10	3	3	2
$y$	5	4	6	6	3	8	9	7	5	10	6

جدول ۱. مقادیر ورودی و خروجی برای یازده  $DMU$

ایجاد شده از  $DMU$  های جدول ۱ در شکل ۱ نشان داده شده اند:



شکل ۱. نمایش موقعیت  $DMU$  های جدول ۱

اگر مثال ۱ را توسط فرم پوششی دو مرحله ای مدل  $BCC$  حل کنیم،  $DMU$  های کارای قوی به صورت زیر به دست می آیند:

$$F = \{A, B, D, F, G, J\}$$

با استفاده از الگوریتم و نمادهای ارایه شده در [۶] می توان تمام ابرصفحه های سازای قوی  $PPS$  را به دست آورد. برای این منظور ابتدا برای هر یک از اعضای  $F$  مجموعه های  $F_j$  و  $\bar{F}_j$  را تعیین می کنیم. سپس زیرمجموعه های  $m+s=3$  عضوی از  $F$  را با شرایط ذکر شده در الگوریتم انتخاب می کنیم، خواهیم داشت:

$$\begin{array}{ll} F_A = \{A, B, D, F, G\} & \bar{F}_A = \{J\} \\ F_B = \{A, B, D\} & \bar{F}_B = \{F, G, J\} \\ F_D = \{A, B, D, G, J\} & \bar{F}_D = \{F\} \\ F_F = \{A, F, G\} & \bar{F}_F = \{B, D, J\} \\ F_G = \{A, D, F, G, J\} & \bar{F}_G = \{B\} \\ F_J = \{D, G, J\} & \bar{F}_J = \{A, B, F\} \end{array}$$

اولین زیرمجموعه‌ی ۳ عضوی از  $F$  را  $\{A, B, D\}$  انتخاب می‌کنیم، ابرصفحه‌ی ایجاد شده به صورت زیر است:

$$\begin{vmatrix} x_1 - 1 & x_2 - 4 & y - 5 \\ 2 & -2 & -1 \\ 4 & -3 & 1 \end{vmatrix} = 0 \rightarrow -5x_1 - 6x_2 + 2y = -19$$

دومین زیرمجموعه را به صورت  $\{A, F, G\}$  انتخاب می‌کنیم، ابرصفحه‌ی ایجاد شده به صورت زیر است:

$$\begin{vmatrix} x_1 - 3 & x_2 - 5 & y - 8 \\ -2 & -1 & -3 \\ 2 & 0 & 1 \end{vmatrix} = 0 \rightarrow -x_1 - 4x_2 + 2y = -7$$

سومین زیرمجموعه را به صورت  $\{A, G, D\}$  انتخاب می‌کنیم، ابرصفحه‌ی ایجاد شده به صورت زیر است:

$$\begin{vmatrix} x_1 - 1 & x_2 - 4 & y - 5 \\ 4 & 1 & 4 \\ 4 & -3 & 1 \end{vmatrix} = 0 \rightarrow 13x_1 + 12x_2 - 16y = -19$$

و آخرین زیرمجموعه به صورت  $\{D, G, J\}$  انتخاب می‌شود، ابرصفحه‌ی ایجاد شده به صورت زیر است:

$$\begin{vmatrix} x_1 - 5 & x_2 - 1 & y - 6 \\ 0 & 4 & 3 \\ 5 & 2 & 4 \end{vmatrix} = 0 \rightarrow 2x_1 + 3x_2 - 4y = -11$$

معادله‌ی ابرصفحه‌های قوی سازنده‌ی  $PPS$  به صورت زیر هستند:

$$H_1: 2y - 5x_1 - 6x_2 + 19 = 0$$

$$H_2: 2y - x_1 - 4x_2 + 7 = 0$$

$$H_3: -16y + 13x_1 + 12x_2 + 19 = 0$$

$$H_4: -4y + 2x_1 + 3x_2 + 11 = 0$$

حال اگر  $DMU_E$  را به عنوان  $DMU$  تحت ارزیابی انتخاب کنیم، به کمک رابطه‌ی  $\theta_p = \frac{u_p y_E - u_{0P}}{v_p x_E}$  که

$1 = P$  کارایی نسبی  $DMU_E$  را توسط وزن‌هایی که متناظر با ضرایب ابرصفحه‌های قوی به دست آمده

هستند، به صورت زیر به دست می‌آوریم:

$$\theta_1 = 0.4901, \theta_2 = 0.4814, \theta_3 = 0.2612 \text{ و } \theta_4 = 0.0416$$

قرار می‌دهیم:

$$\theta^* = \max_{p=1,2,3,4} \{\theta_p\} = \theta_1$$

$$H = \{H_1\}$$

$$M_{H_1} = \{A, B, D\}$$

حال برای به دست آوردن جهت‌هایی که با کمترین فاصله (الگوریتم ارایه شده در بخش ۳)،  $DMU_E$  را روی ابرصفحه‌ای با ضرایب متناظر با وزن‌های بهینه برای  $DMU_E$  تصویر می‌کند، مدل زیر را حل می‌کنیم:

$$\begin{aligned} s_1 = \min & \quad \sum_{i=1}^2 s_i^- + s_1^+ \\ \text{s.t.} & \quad \sum_{j \in M_{H_1}} \lambda_j x_{ij} = x_{iE} - s_i^- \quad i = 1, 2 \\ & \quad \sum_{j \in M_{H_1}} \lambda_j y_{rj} = y_{rE} + s_r^+ \quad r = 1 \\ & \quad \sum_{j \in M_{H_1}} \lambda_j = 1 \\ & \quad \lambda_j \geq 0, \quad j \in M_{H_1} \\ & \quad s_i^- \geq 0, \quad i = 1, 2 \\ & \quad s_r^+ \geq 0, \quad r = 1 \end{aligned}$$

اگر مقادیر  $y_D$  را در مدل فوق قرار دهیم، داریم:

$$\begin{aligned} \text{Min } & s_1^- + s_2^- + s_1^+ \\ \text{s.t. } & \lambda_A + 3\lambda_B + 5\lambda_D = 3 - s_1^-, \\ & 4\lambda_A + 2\lambda_B + \lambda_D = 6 - s_2^-, \\ & 5\lambda_A + 4\lambda_B + 6\lambda_D = 3 + s_1^+, \\ & \lambda_A + \lambda_B + \lambda_D = 1, \\ & \lambda_A \geq 0, \\ & \lambda_B \geq 0, \\ & \lambda_D \geq 0, \\ & s_1^- \geq 0, s_2^- \geq 0, s_1^+ \geq 0. \end{aligned}$$

مقادیر  $s_1^-, s_2^-$  و  $s_1^+$  با استفاده از نرم افزار *Lindo* به صورت زیر به دست می‌آیند:

$$s_1^- = 0, s_2^- = 4, s_1^+ = 1, \lambda_A = 0, \lambda_B = 1, \lambda_D = 0$$

قرار می‌دهیم:  $s^* = s_1$

جهت‌های بهینه به صورت زیر به دست می‌آیند:

$$\begin{aligned} \vec{g}^x &= \sum_{j \in M_{H_L}^*} x_{ij} \lambda_j - x_{iE} = -\vec{s}_i^- \quad i = 1, 2 \\ \vec{g}^y &= \sum_{j \in M_{H_L}^*} y_{rj} \lambda_j - y_{rE} = \vec{s}_r^+ \quad r = 1 \\ \vec{g}^x &= (-s_1^-, -s_2^-), \quad \vec{g}^y = s_1^+ \\ \vec{g} &= (\vec{g}^x, \vec{g}^y) = (0, -4, 1) \end{aligned}$$

مدل (۵) جوابی متفاوت با مدل جمعی دارد. اگر مثال ۱ را به جای مدل (۵) با مدل جمعی (۳) حل کنیم، داریم:

$$\begin{aligned} & \text{Max } s_1^- + s_2^- + s_1^+ \\ \text{s.t. } & \lambda_A + 3\lambda_B + 3\lambda_C + 5\lambda_D + 3\lambda_E + 3\lambda_F + 5\lambda_G + 4\lambda_H + 10\lambda_I + 10\lambda_J + 9\lambda_K = 3 - s_1^- \\ & 4\lambda_A + 2\lambda_B + 6\lambda_C + 1\lambda_D + 6\lambda_E + 5\lambda_F + 5\lambda_G + 10\lambda_H + 3\lambda_I + 3\lambda_J + 2\lambda_K = 6 - s_2^- \\ & 5\lambda_A + 4\lambda_B + 6\lambda_C + 6\lambda_D + 3\lambda_E + 8\lambda_F + 9\lambda_G + 7\lambda_H + 5\lambda_I + 10\lambda_J + 6\lambda_K = 3 + s_1^+ \\ & \lambda_A + \lambda_B + \lambda_C + \lambda_D + \lambda_E + \lambda_F + \lambda_G + \lambda_H + \lambda_I + \lambda_J + \lambda_K = 1 \\ & \lambda_j \geq 0 \quad j = A, \dots, K \\ & s_1^- \geq 0, s_2^- \geq 0, s_1^+ \geq 0 \end{aligned}$$

با استفاده از نرم افزار *Lindo* به دست می آید:

$$s_1^- = 2, s_2^- = 2, s_1^+ = 2, \lambda_A = 1, \lambda_B = 0, \dots, \lambda_K = 0$$

اگر مثال ۱ را به روش دوم (اولویت مطلق - روش ارایه شده در بخش ۴) حل کنیم ابتدا مراحل اول تا چهارم الگوریتم بخش ۳ را برای این *DMU* اجرا می کنیم. لذا هم اکنون، ابر صفحه یا ابر صفحه هایی که ضرایب آن ها متناظر با این وزن های بهینه اند، معلوم هستند. فرض می کنیم اولویت ها بترتیب ورودی اول، ورودی دوم و خروجی باشد. برای حرکت به سمت این ابر صفحه با توجه به اولویت مفروض بین ورودی- خروجی ها، مدل زیر را حل می کنیم:

$$\begin{aligned} & \text{Min } s_1^- \\ \text{s.t. } & \lambda_A + 3\lambda_B + 5\lambda_D = 3 - s_1^-, \\ & 4\lambda_A + 2\lambda_B + \lambda_D = 6 - s_2^-, \\ & 5\lambda_A + 4\lambda_B + 6\lambda_D = 3 + s_1^+, \\ & \lambda_A + \lambda_B + \lambda_D = 1, \\ & \lambda_A \geq 0, \\ & \lambda_B \geq 0, \\ & \lambda_D \geq 0, \\ & s_1^- \geq 0, s_2^- \geq 0, s_1^+ \geq 0. \end{aligned}$$

مساله دارای جواب بهینه ی چندگانه با مقدار بهینه ی تابع هدف  $s_1^- = 0$  می باشد.

چون جواب بهینه منحصر به فرد نیست اولویت دوم را روی ناحیه بهینه ی مساله مربوط به اولویت اول اعمال می کنیم. مساله ی زیر حاصل می شود:

$$\begin{aligned} & \text{Min } s_2^- \\ \text{s.t. } & \lambda_A + 3\lambda_B + 5\lambda_D = 3 - 0, \\ & 4\lambda_A + 2\lambda_B + \lambda_D = 6 - s_2^-, \\ & 5\lambda_A + 4\lambda_B + 6\lambda_D = 3 + s_1^+, \\ & \lambda_A + \lambda_B + \lambda_D = 1, \\ & \lambda_A \geq 0, \\ & \lambda_B \geq 0, \\ & \lambda_D \geq 0, \\ & s_1^- \geq 0, s_2^- \geq 0, s_1^+ \geq 0. \end{aligned}$$

مساله دارای جواب بهینه‌ی چندگانه با مقدار بهینه‌ی تابع هدف  $s_2^- = 3.5$  می‌باشد. مجدداً مساله جواب بهینه چندگانه دارد. لذا اولویت سوم را روی ناحیه بهینه‌ی مساله‌ی مربوط به اولویت دوم اعمال می‌کنیم. مساله‌ی حاصل شده به صورت زیر می‌باشد:

$$\begin{aligned} & \text{Min } s_1^+ \\ \text{s.t. } & \lambda_A + 3\lambda_B + 5\lambda_D = 3 - 0, \\ & 4\lambda_A + 2\lambda_B + \lambda_D = 6 - 3.5, \\ & 5\lambda_A + 4\lambda_B + 6\lambda_D = 3 + s_1^+, \\ & \lambda_A + \lambda_B + \lambda_D = 1, \\ & \lambda_A \geq 0, \\ & \lambda_B \geq 0, \\ & \lambda_D \geq 0, \\ & s_1^- \geq 0, s_2^- \geq 0, s_1^+ \geq 0. \end{aligned}$$

که مقدار بهینه‌ی تابع هدف آن  $s_2^- = 2.5$  می‌باشد. بنابراین با توجه اولویت‌ها و جواب‌های بهینه‌ی سه مدل فوق جهت بهینه  $\mathbf{d} = (0, -3.5, 2.5)^T$  است. این نشان می‌دهد که برای بهبود ورودی‌ها و خروجی، که اولویت‌های بهبود برتریب روى ورودی اول، ورودی دوم و خروجی اعمال شده است، لازم است جهت حرکت  $\mathbf{d}$  انتخاب شود. بدیهی است که هرگونه تغییر در نوع اولویت‌بندی روى شاخص‌ها ورودی و خروجی منجر به جهت‌های دیگری خواهد شد.

## ۶ نتیجه‌گیری

در این مقاله روشی برای پیدا کردن جهت‌های بهینه معرفی شده است. با این روش کاربر می‌تواند با حداقل تغییرات در مقادیر ورودی و خروجی به مرز برسد. از طرف دیگر برای محاسبه‌ی کارایی یک  $DMU$  تحت ارزیابی، وزن‌هایی انتخاب می‌شوند که بیشترین کارایی را به این  $DMU$  اختصاص می‌دهند.

در این مقاله دو نوع مساله با جهت‌های بهبود دهنده‌ی خاص و مجھول ارایه شده‌اند. ممکن است در مسایل کاربردی اهداف دیگری نیز دنبال شوند که با روشی مشابه آنچه ارایه شد، می‌توان آن جهت‌ها را به دست

آورد. با استفاده از این روش‌ها، می‌توان بطور هدفمند به سمت مرز کارایی حرکت کرد. لذا، بعد از به دست آوردن وزن‌های بهینه برای  $DMU$  ی مورد ارزیابی، که با محاسبه‌ی ماکریم کارایی نسبی آن در مقایسه با سایر واحدها انجام می‌گیرد، با توجه به شرایط فردی این  $DMU$  و شرایط ویژه‌ای که برای کاربر اهمیت دارند، به کمک جهت‌های بهینه‌ی به دست آمده برای آن، می‌توان اطلاعات جزئی‌تر و بیشتری از ارزیابی این واحد به دست آورد.

### منابع

- [1] Fukuyama H, Weber WL.(2009) A directional slacks-based measure of technical inefficiency. *Socio-Economic Planning Sciences* 43(4):274–87.
- [2] Charnes, A., Cooper, W.W., Rhodes, E.L., 1978. Measuring the efficiency of decision making units. *European Journal of Operational Research* 2, 429–444.
- [3] Cook, W.D., Seiford, L.M., 2009. Data envelopment analysis (DEA) –Thirty years on. *European Journal of Operational Research* 192, 1–17.
- [4] Banker, R.D., Charnes, A., Cooper, W.W., 1984. Some models for estimating technical and scale inefficiencies in data envelopment analysis. *Management Science* 30, 1078–1092.
- [5] Cooper WW, Seiford L.M, Tone K.(2007) Data Envelopment Analysis; Second Edition, Springer.
- [6] Jahanshahloo, G.R., Hosseinzadeh Lotfi, F., Zhiani Rezai, H., Rezai Balf, F. (2007) Finding strong defining hyperplanes of Production Possibility Set. *European Journal of Operational Research* 177 42–54.